

**مقاله علمی - پژوهشی:**

## **بررسی رشد، زندگانی و بخشکلی ناشی از القاء تریپلوبیتیدی در ماهی قزلآلای رنگین‌کمان به‌وسیله شوک گرمایی**

داود ضرغام<sup>\*</sup>، کمیل رزمی<sup>۱</sup>، طبیه باشتی<sup>۱</sup>

\*Davoodzargham61@gmail.com

۱- مؤسسه تحقیقات علوم شیلاتی کشور، سازمان تحقیقات، آموزش و ترویج کشاورزی، تهران، ایران

۲- مؤسسه مطالعات دریایی و قطب جنوب، دانشگاه تاسمانیا، استرالیا

تاریخ پذیرش: مهر ۱۴۰۰

تاریخ دریافت: مرداد ۱۴۰۰

**چکیده**

وقوع بلوغ جنسی معمولاً باعث کاهش نرخ رشد بدنی می‌شود که امری نامطلوب برای پرورش دهنده‌گان است. یکی از راهکارهای کنترل این امر، تولید ماهیان عقیم می‌باشد. در تکیک ایجاد ماهیان تریپلوبیتید، به عنوان یکی از روش‌های عقیم‌سازی، آگاهی از توان ماهی‌ها در تحمل شرایط پر استرس محیط پرورش و بررسی میزان رشد، بازماندگی و بخشکلی ناشی از شوک بسیار مهم می‌باشد. در تحقیق حاضر، ۳ تیمار برای القاء تریپلوبیتیدی با استفاده از شوک گرمایی در نظر گرفته شد. در تیمار A تخمها پس از گذشت ۳۰ دقیقه از لقاح به مدت ۱۵ دقیقه در آب با دمای ۲۷ درجه سانتی‌گراد قرار گرفتند. در تیمار B شوک‌دهی ۲۰ دقیقه پس از لقاح، به مدت ۲۰ دقیقه و در دمای ۲۶ درجه انجام گرفت و در تیمار C، شوک‌دهی ۴۰ دقیقه پس از لقاح، به مدت ۱۰ دقیقه و در دمای ۲۸ درجه انجام شد. یک گروه نیز (D) به عنوان شاهد در نظر گرفته شد. بازدهی القاء تریپلوبیتیدی، در تیمار A برابر با ۸۴٪ و در تیمار B برابر با ۷۶٪ و در تیمار C برابر با ۹۸٪ بدست آمد. نتایج حاصل از ۱۰ مرحله بررسی رشد بچه ماهی‌ها، اختلاف معنی‌داری را تا ۰.۸ روز پس از تخم‌گشایی از خود نشان نداد ( $p \geq 0.05$ ). میزان بازماندگی ماهیان تیمارها نیز در ۷ مرحله مجزا مورد بررسی قرار گرفت که در مجموع، بازماندگی تیمار A برابر با ۶۵٪، بازماندگی تیمار B، ۸۱٪، بازماندگی تیمار C ۷۲٪ و بازماندگی گروه شاهد ۸۶٪ بدست آمد. همچنین میزان لاروهای دارای بخشکلی و نقص ظاهری نیز از مرحله تخم‌گشایی تا شروع شناختی فعال و تا رسیدن به وزن ۲۰۰ میلی‌گرم در تیمارهای تریپلوبیتید بالاتر از تیمار شاهد بود ( $p < 0.05$ ). در مجموع، میزان بدشکلی در تیمار A برابر با ۵۱٪ درصد، در تیمار B برابر با ۶۵٪ درصد، در تیمار C ۷۵٪ درصد و در گروه شاهد ۶٪ درصد بدست آمد ( $p < 0.05$ ). در نهایت بالاترین میزان تریپلوبیتیدی و بدريختی ناشی از آن در تیمار C و ييـشـتـرـين بازماندگی در تیمارهای آزمایشی در تیمار B مشاهده شد، ولی تفاوتی در رشد تیمارها مشاهده نگردید.

**لغات کلیدی:** تریپلوبیتید، قزلآلای رنگین کمان، رشد، بازماندگی، بدشکلی *Oncorhynchus mykiss*

\*نویسنده مسئول

**مقدمه**

شوک گرمایی قزلآلای رنگین کمان تریپلولئید تولید کرد. همچنین جدیدترین مطالعات در این موضوع را Pandey و همکاران (۲۰۲۱) بر رشد ماهی قزلآلای رنگین کمان، Oliver و همکاران (۲۰۲۰) بر ماهی کفشک و Jagiello و همکاران (۲۰۲۱) بر بدشکلی ماهی قزلآلای تریپلولئید پرواری انجام داده‌اند. موضوعی که در مبحث القاء تریپلولئیدی کمتر به آن توجه شده است، شرایط این نوع ماهیان در محیط‌های پرورشی و سیستم‌های مرسوم در مراکز پرورشی است. با توجه به اینکه این نوع از ماهی‌ها در مراحل ابتدایی زندگی دچار استرس شده‌اند، آگاهی از توان آنها در تحمل شرایط پر استرس محیط پرورش بسیار مهم خواهد بود. مطالعات مختلف خارجی و مطالعات محدود داخلی، میزان بازماندگی و رشد را در مراحل اولیه پس از تخم‌گشایی بررسی نموده‌اند. به همین دلیل، در این مطالعه بر عملکرد ماهی‌های قزلآلای تریپلولئید در شرایط پرورش تجاری، میزان رشد، بازماندگی و بدشکلی ناشی از شوک آنها تا ۲۰۸ روز پس از تخم‌گشایی تمرکز شده است.

**مواد و روش کار**

این مطالعه در مرکز تحقیقات ژنتیک و اصلاح نژاد ماهیان سردآبی شهید مطهری یاسوج انجام شد. تصویربرداری از لامهای گسترش‌خونی توسط میکروسکوپ نوری با بزرگنمایی ۴۰۰ و با استفاده از نرم‌افزارهای مربوط به عکس‌برداری میکروسکوپی در بخش آسیب‌شناسی دانشکده دندانپزشکی دانشگاه علوم پزشکی تهران انجام گرفت.

**نحوه تکثیر و شرایط انکوباسیون**

تخم‌های سبز از ۱۰ عدد مولد ماده ۳ و ۴ ساله استحصال گردید. اسپرم‌ها نیز از ۱۲ عدد نر ۲ و ۳ ساله استحصال و با تخمک‌ها آمیخته شد. برای سهولت در عمل لقاد و تحریک اسپرم‌ها از مایع تخدمانی مولدین و آب مقطر استفاده شد (Hardey *et al.*, 2000). وزن تخم‌های مورد استفاده در این تحقیق ۱۰-۱۲ عدد در هر گرم بود. دبی تراف‌ها ۲/۵-۳/۰ لیتر بر ثانیه تنظیم گردید. همچنین

وقوع بلوغ جنسی معمولاً باعث کاهش نرخ رشد بدنی می‌شود، زیرا انرژی حاصل از غذا به جای تولید لشه به سمت تکامل گنادی منحرف می‌گردد. در ماهیان پرورشی، به دلیل وجود شرایط مناسب‌تر، بلوغ جنسی و تولید ممثل، زودتر از محیط‌های طبیعی اتفاق می‌افتد. با تولید ماهیان عقیم تا حدودی می‌توان این مشکلات را رفع نمود (Nascimento *et al.*, 2017). یکی از روش‌های عقیم کردن، از طریق القاء پلولئیدی (به خصوص تریپلولئیدی) می‌باشد. دلایل دیگری نیز مانند افزایش نرخ رشد یا ارتقاء کیفیت ارگانولپتیک برای این کار وجود دارد (Nell, 2002). القاء تریپلولئیدی در مهره‌داران پیشرفت‌تر، دشوارتر از بی‌مهرگان و مهره‌داران ابتدائی بوده و در برخی موارد ناممکن است. تولید جمعیت‌های تریپلولئید به دو روش مستقیم و غیر مستقیم انجام می‌شود. تریپلولئیدی به‌وسیله روش غیرمستقیم عمدتاً از طریق آمیزش اینترپلولئیدی امکان‌پذیر است که شامل آمیزش تخمک‌های معمولی با اسپرم نرهای تترالپلولئید می‌شود. القاء تریپلولئیدی به روش مستقیم در ماهیان، از طریق ایجاد اختلال در روند طبیعی تقسیم سلولی و ممانعت از خروج دومین گویچه قطبی در تخم لقاد یافته انجام می‌شود. توقف تقسیم سلولی، به روش‌های مختلف صورت می‌گیرد که شامل تیمارهای فیزیکی و شیمیابی است (Bencsik *et al.*, 2013). معمولاً روش‌های فیزیکی دارای موفقیت‌های بیشتری هستند و معمولاً برای تولید جمعیت تریپلولئید در ماهیان از این روش استفاده می‌شود. شوک حرارتی روشی آسان و ارزان است، ولی کنترل صحیح شوک چندان راحت نیست به‌طوری‌که تخمین اینکه تمام تخم‌های تحت درمان در هر مرحله، از نرخ یکنواخت و دمای مشابه برخوردار شده‌اند، دشوار است. شوک فشار هیدروراستاتیک نیز شامل افزایش ناگهانی و زودگذر فشار بر تخم‌های لقاد یافته است. اولین تجربه‌های جهانی و داخلی در این زمینه را Benfey و همکاران (۱۹۹۹) بر ماهی آزاد اطلس و قزلآلای رنگین کمان و Piferrer و همکاران (۱۹۹۴) بر ماهی قزلآلای انجام دادند. در ایران نیز کلباسی و جوهری (۱۳۷۲) با استفاده از

**طراحی تیمارهای آزمایشی**  
 برای این مطالعه سه تیمار آزمایشی هر کدام با سه تکرار به همراه یک تیمار شاهد طراحی گردید. تیمارها بر اساس آزمایش‌های معتبر و گزارش‌های موفق القاء تریپلوبئیدی در قزل‌آلآ طراحی گردید که جزئیات آنها در جدول ۱ ارائه شده است.

دمای آب پرورش ۱۰-۱۱/۲ درجه سانتی‌گراد،  $\text{pH} = ۸/۲-۸/۸$  میلی‌گرم بر لیتر و هدایت الکتریکی آب ۵۹۰-۶۲۰ میکرومیکس بر سانتی‌متر اندازه‌گیری گردید.

جدول ۱: اطلاعات مربوط به تیمارهای آزمایشی

Table 1: Information on experimental treatments

منبع	دماهی شوکدهی (دقیقه)	مدت شوکدهی (دقیقه)	زمان شوکدهی (دقیقه پس از لقاح)	تعداد تخم سبز	تیمار
(Piferrer, 2001)	۲۷	۱۵	۳۰	$۵۰\pm ۱۳۲۰۰$	A
(Piferrer, 2001)	۲۶	۲۰	۲۰	$۵۰\pm ۱۳۲۰۰$	B
(Piferrer et al., 1994)	۲۸	۱۰	۴۰	$۵۰\pm ۱۳۲۰۰$	C
گروه شاهد (بدون شوکدهی)				$۵۰\pm ۱۳۲۰۰$	D

**بررسی رشد و زندمانی لاروها**  
 تا ۲۴ ساعت پس از لقاح، تمام تخم‌هایی که در پروسه القاء شوک از بین رفته یا تخمک‌هایی که بارور نشده بودند، از درون تراف‌ها جمع‌آوری، شمارش و ثبت گردید. پس از اتمام دوره شوکدهی تیمارها مستقیماً به تراف‌ها منتقل شدند و هر تیمار در چهار سبد تقسیم گردید و در تراکم ۳۳۰۰-۴۰۰۰ عدد تخم سبز در هر تراف نگهداری گردید (Behhke, 1992). به منظور حذف تاثیر شرایط محیطی، از طرح بلوكهای تصادفی (RBD)<sup>۱</sup> برای چیدمان سبدها استفاده شد. لاروها تا وزن ۵۰۰-۷۰۰ میلی‌گرم در تراف و سپس در وان‌های ۸۰ لیتری نگهداری شدند. آغاز غذادهی از شروع شناخت فعال و ۸ نوبت در طول روز با خوارک خارجی صورت گرفت. بعد از وزن ۵۰۰ میلی‌گرم تا زمان صید میزان غذادهی به میزان ۵ درصد از وزن بدن انجام شد. در این تحقیق، تلفات تیمارها در ۷ مرحله از رشد ثبت شد و در نهایت بازماندگی تیمارها مقایسه شد. میزان رشد وزنی تیمارها نیز از تخم‌گشایی تا وزن ۲۰ گرم در ۱۰ مرحله اندازه‌گیری و با یکدیگر مورد مقایسه قرار گرفت.

پس از آمیختگی تخمک و اسپرم و در زمان مشخص شده برای هر تیمار، سبد تخم مربوط به هر تیمار آزمایشی در تانکی که قبلاً به وسیله چندین بخاری آکواریومی به دمای مورد نظر برای آن تیمار رسیده‌اند، غوطه‌ور شد. در طول مدت شوکدهی دمای آب تانک‌ها با دماسنجه کالیبره شد و یک دستگاه مولتی‌متر کنترل می‌شد تا در طول زمان شوکدهی دمای مورد نظر حفظ شود.

**روش تشخیص میزان پلوئیدی در تیمارها**  
 ماهی‌های موجود در تیمارها تا وزن  $۲۰\pm ۲$  گرم نگهداری و سپس ۵۰ قطعه از هر تیمار صید گردید و خونگیری از ساقه دمی انجام شد. سپس با استفاده از لام و لامل گسترش خونی تهیه و پس از رنگ آمیزی، بررسی با میکروسکوب نوری با بزرگنمایی ۴۰۰ انجام شد. با استفاده از نرم‌افزارهای مربوط به عکس‌برداری میکروسکوپی، اندازه هستک گلbulهای قرمز در نمونه‌ها بررسی و مقایسه شد. در نهایت از این طریق درصد پلوئیدی هر تیمار تعیین و مقایسه بین تیمارها انجام شد (زارعی و همکاران، ۱۳۹۶).

<sup>1</sup> Random Block Design (RBD)

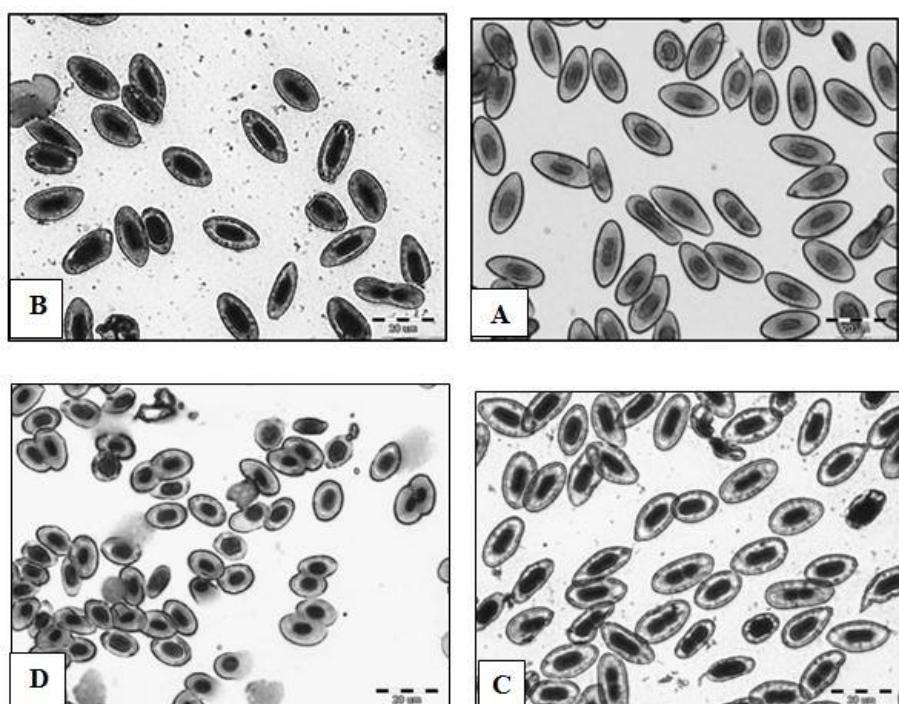
**نتایج****نتایج میزان پلولیتی**

همان‌طوری که در جدول ۲ نشان داده شده است، تیمار C  
که ۴۰ دقیقه پس از لقاح به مدت ۱۰ دقیقه با دمای ۲۸

جدول ۲: تعداد ماهی‌های دیپلولوئید و تریپلولوئید در هر تیمار

Table 2: Number of diploid and triploid fish in each treatment

D	C	B	A	تیمار
۵۰	۵۰	۵۰	۵۰	تعداد ماهی
.	۴۹	۳۸	۴۲	تعداد تریپلولوئیدها
.	۹۸	۷۶	۸۴	درصد تریپلولوئیدی



شکل ۱: تصویر گلbul های خونی تیمارهای آزمایشی (A, B, C) و گروه شاهد (D)

Figure 1: Image of blood cells of experimental treatments (A, B, C) and control group (D)

۱۰۲۰ عدد تخم چشم‌زده و لارو دارای کیسه‌زردی بیشترین و گروه شاهد یا D با ۳۰۰ عدد دارای کمترین تلفات بودند. از شروع شنای فعال تا وزن ۵۰۰ میلی‌گرم، تیمار C با ۲۰۰ عدد لارو بیشترین و گروه شاهد با ۴۰ عدد لارو از کمترین تلفات برخودار بودند. از وزن ۵۰۰ میلی‌گرم الی ۲ گرم، گروه شاهد با ۳۰ عدد لارو بیشترین

**بازماندگی**

بیشترین نرخ تلفات در این مطالعه مربوط به مرحله لقاح و اعمال شوک حرارتی تا کامل شدن فرآیند جنینی بود. در این مرحله تیمار A با ۲۶۳۰ عدد تخم تلف شده دارای کمترین میزان بازماندگی بود. دومین مرحله، از تخم‌گشایی تا شروع شنای فعال بود که تیمار C با تعداد

## رشد

در اولین مرحله از بررسی رشد تیمارها، لاروهای دارای کیسه زرده پس از تخم‌گشایی توزین شدند. در این مرحله، تیمار A با  $0.90 \pm 0.02$  گرم دارای بیشترین میزان رشد بود و تفاوت معنی‌دار با شاهد داشت ( $p < 0.05$ ). مرحله دوم توزین تیمارها ۱۲ روز پس از بیومتری اول و همزمان با شروع شناخت فعال، مرحله سوم ۱۴ روز پس از شروع شناخت فعال و ۲۵ روز پس از تخم‌گشایی، مرحله چهارم همزمان با انتقال بچه‌ماهی‌ها به وان‌های پرورش و ۵۶ روز پس از تخم‌گشایی، مرحله پنجم بیومتری، ۹۱ روز پس از تخم‌گشایی، مرحله ششم ۱۱۶ روز پس از تخم‌گشایی، مرحله هفتم ۱۲۳ روز پس از تخم‌گشایی، مرحله هشتم ۱۵۴ روز پس از تخم‌گشایی، مرحله نهم ۱۸۲ روز پس از تخم‌گشایی و مرحله دهم توزین، ۲۰۸ روز پس از تخم‌گشایی انجام شد (جدول ۳).

و تیمارهای C و A هرکدام با ۱۵ عدد لارو دارای کمترین تلفات بودند. وزن ۲-۵ گرم، گروه شاهد (D) با ۲۰ عدد لارو بیشترین و تیمارهای C و A هرکدام با ۱۵ عدد لارو دارای کمترین تلفات بودند. وزن ۱۰-۱۰ گرم، گروه شاهد با ۲۲ عدد لارو بیشترین و تیمار B با ۱۴ عدد لارو از کمترین تلفات برخوردار بودند. آخرین نرخ فراوانی تلفات، وزن ۱۰-۲۰ گرم ثبت گردید که تیمار شاهد با ۲۱ عدد لارو دارای بیشترین و تیمار B با ۱۰ عدد لارو دارای کمترین تلفات بودند. در مجموع ۷ مرحله، بازماندگی تیمار A برابر با ۶۶٪، بازماندگی تیمار B برابر با ۸۱٪، بازماندگی تیمار C برابر با ۷۲٪ و بازماندگی گروه شاهد (D) برابر با ۸۶٪ بودست آمد.

جدول ۳: نتایج رشد تیمارهای آزمایشی در ۹ مرحله بیومتری (میانگین ± انحراف معیار)

Table 3: Growth results of experimental treatments in 9 biometric stages (average  $\pm$  sd)

نوبت بیومتری										تیمار
۹	۸	۷	۶	۵	۴	۳	۲	۱		
$9.0 \pm 2.58$	$5.0 \pm 6.43$	$3.0 \pm 1.73$	$2.0 \pm 6.26$	$1.0 \pm 0.9$	$0.0 \pm 6.03$	$0.0 \pm 3.50.02$	$0.0 \pm 1.90.05$	$0.0 \pm 0.90.02$	A	
$8.0 \pm 9.5$	$5.0 \pm 2.37$	$3.0 \pm 0.626$	$2.0 \pm 4.19$	$2.0 \pm 0.429$	$0.0 \pm 4.40.31$	$0.0 \pm 3.30.09$	$0.0 \pm 1.80.02$	$0.0 \pm 0.80.01$	B	
$9.0 \pm 1.46$	$5.0 \pm 9.52$	$3.0 \pm 2.432$	$2.0 \pm 8.25$	$2.0 \pm 1.736$	$0.0 \pm 7.40.35$	$0.0 \pm 3.70.05$	$0.0 \pm 1.80.08$	$0.0 \pm 0.90.02$	C	
$8.0 \pm 9.48$	$5.0 \pm 7.46$	$3.0 \pm 5.44$	$2.0 \pm 7.23$	$2.0 \pm 2.37$	$0.0 \pm 6.20.4$	$0.0 \pm 3.50.12$	$0.0 \pm 1.70.02$	$0.0 \pm 0.70.01$	D	

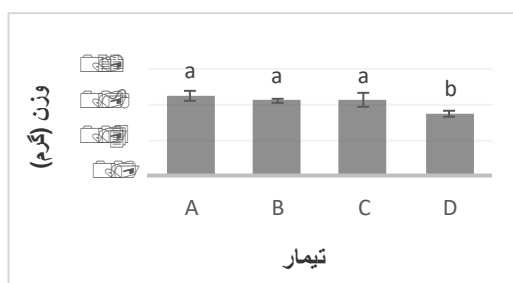
به چهار نوع ستون فقرات، چشم‌ها، فک و ... (باله‌ها، کیسه زرده، سرپوش آبیششی) تقسیم شد. شکل ۱۳ نشان می‌دهد که از نظر کمی، تیمار C با لاروهای بدشکل دارای بیشترین میزان بدشکلی در بین تیمارهای آزمایشی بوده است و به طرز معنی‌داری با نرخ ثبت شده برای گروه شاهد D تفاوت داشت. میزان بدشکلی در تیمار A برابر با  $6/51$  درصد، در تیمار B برابر با  $7/65$  درصد، در تیمار C برابر با  $10/75$  درصد و در شاهد برابر با  $0/0$  درصد به‌دست آمد. همچنین تیمار C بیشترین و گروه شاهد دارای کمترین نرخ بدشکلی در ستون فقرات بودند (شکل ۱۴). میزان بدشکلی چشمی لاروهای تریپلوائید برای هر تیمار در شکل ۱۵ نشان داده شده

همچنین تغییرات میانگین وزن تیمارها در دوره های ۹ گانه جهت مقایسه بین تیماری در شکل‌های ۲ الی ۱۱ نشان داده شده است. حروف متفاوت در نمودارها نشان‌دهنده اختلاف معنی دار بین گروه‌های است.

## بدشکلی

بدشکلی تیمارها، از مرحله تخم‌گشایی تا شروع شناخت فعال تا رسیدن به وزن ۲۰۰ میلی‌گرم از نظر کمی و کیفی مورد بررسی قرار گرفت (شکل ۱۲). به دلیل ناتوانی در دریافت غذا، تقریباً تمام لاروهای بدشکلی پس از شروع شناخت فعال از بین رفتند. بدشکلی از نظر کیفی در تیمارها

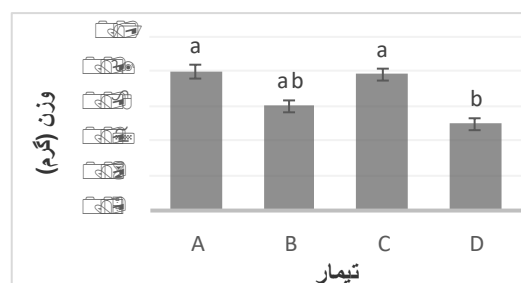
با ۱۶۰ لارو بدشکل، بیشترین میزان لارو بدشکلی در باله‌ها، کیسه زرد و سرپوش آبششی را داشته است (شکل ۱۶).



شکل ۳: وزن پس از شروع شنا فعال (میانگین $\pm$  انحراف معیار)

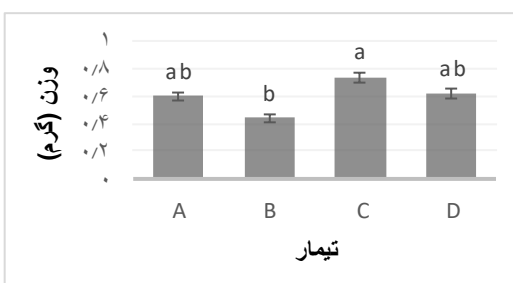
Figure 3: Weight after active swimming (average  $\pm$  standard deviation)

است. تیمار C با ۳۱۰ بیشترین و گروه شاهد با ۵ لارو، کمترین لارو بدشکل را ثبت کرده‌اند. میزان بدشکلی متفرقه (باله‌ها، کیسه زرد و سرپوش آبششی) در تیمار C



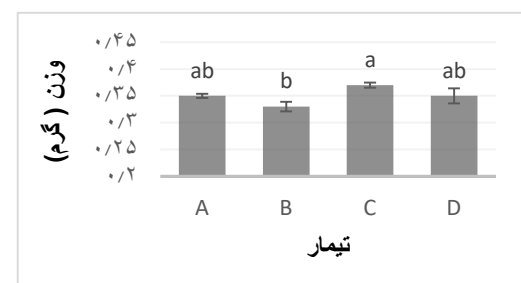
شکل ۲: وزن تیمارها پس از تخم‌گشایی (میانگین $\pm$  انحراف معیار)

Figure 2: Weight of treatments after hatching (average  $\pm$  standard deviation)



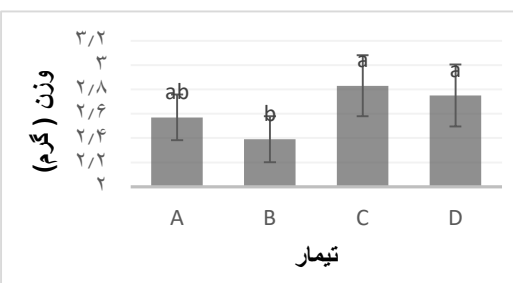
شکل ۵: وزن تیمارها در روز ۵۶ (میانگین $\pm$  انحراف معیار)

Figure 5: Weight of treatments in day 56 (average  $\pm$  standard deviation)



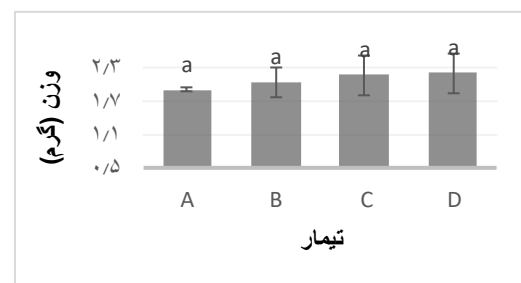
شکل ۴: وزن تیمارها در روز ۲۵ (میانگین $\pm$  انحراف معیار)

Figure 4: Weight of treatments in day 25 (average  $\pm$  standard deviation)



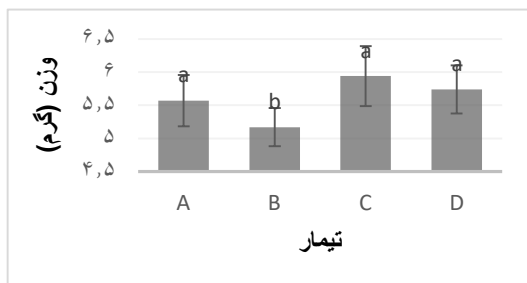
شکل ۷: وزن تیمارها در روز ۱۱۶ (میانگین $\pm$  انحراف معیار)

Figure 7: Weight of treatments in day 116 (average  $\pm$  standard deviation)

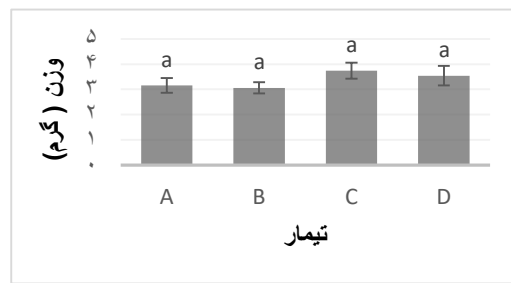


شکل ۶: وزن تیمارها در روز ۹۱ (میانگین $\pm$  انحراف معیار)

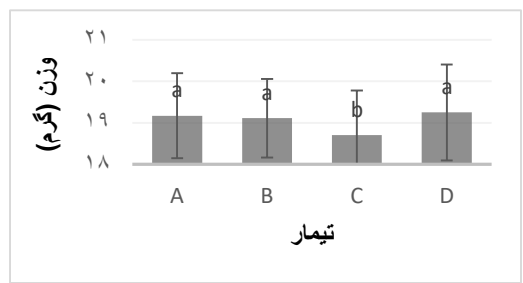
Figure 6: Weight of treatments in day 91 (average  $\pm$  standard deviation)



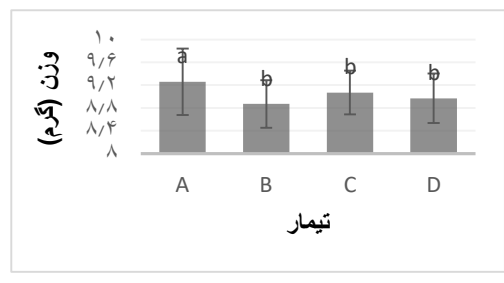
شکل ۹: وزن تیمارها در روز ۱۵۴ (میانگین $\pm$  انحراف معیار)  
Figure 9: Weight of treatments in day 154 (average  $\pm$  standard deviation)



شکل ۸: وزن تیمارها در روز ۱۲۳ (میانگین $\pm$  انحراف معیار)  
Figure 8: Weight of treatments in day 123 (average  $\pm$  standard deviation)



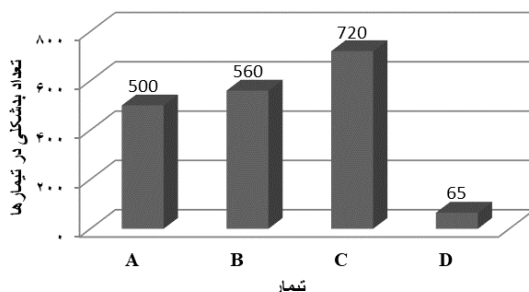
شکل ۱۱: وزن تیمارها در روز ۲۰۸ (میانگین $\pm$  انحراف معیار)  
Figure 11: Weight of treatments in day 208(average  $\pm$  standard deviation)



شکل ۱۰: وزن تیمارها در روز ۱۸۲ (میانگین $\pm$  انحراف معیار)  
Figure 10: Weight of treatments in day 182 (average  $\pm$  standard deviation)

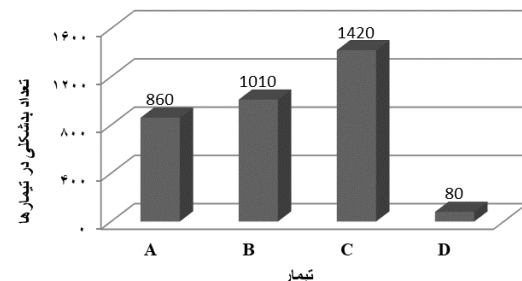


شکل ۱۲: انواع بدشکلی در تیمارهای آزمایشی. چشم‌ها (۱)، فک (۲)، ستون فقرات (۳) و لارو سالم (۴)  
Figure 12: Types of deformities in experimental treatments. Eyes, jaws, soine and healthy larvae.



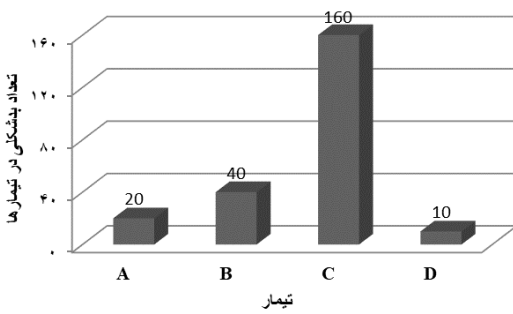
شکل ۱۴: مقایسه میزان بدشکلی در ستون فقرات در تیمارها

Figure 14: Comparison of spinal deformity in treatments



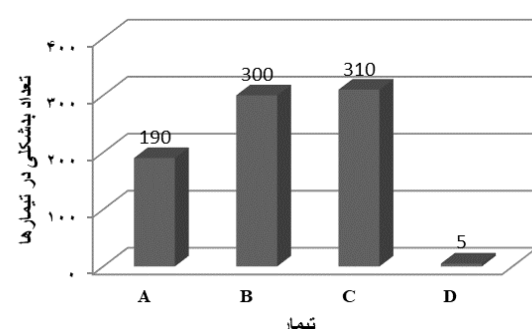
شکل ۱۳: مقایسه میزان بدشکلی در تیمارهای آزمایشی

Figure 13: Comparison of deformity in experimental treatments.



شکل ۱۶: مقایسه میزان بدشکلی متفرقه در تیمارها

Figure 16: comparison of other deformities in treatments



شکل ۱۵: مقایسه میزان بدشکلی چشمی در تیمارها

Figure 15: comparison of eye deformity in treatments

موضوع بررسی رشد ماهی‌های تریپلوبید، تحقیقات بر ماهی آزاد اقیانوس اطلس، قزلآلای پرورشی و گونه *Salvelinus alpinus* نشان می‌دهد که تریپلوبیدها تا قبل از سن بلوغ دارای رشد بالاتری نسبت به دیپلوبیدها نمی‌باشند (Wagner *et al.*, 2006). ایگردی و همکاران (۱۳۹۶) نیز الگوی رشد ماهیان تریپلوبید هیربید فیل ماهی × تاس ماهی سیبری را بعد از روز ۲۵ تخمه گشایی، دارای الگوی ایزومتریک گزارش نمودند. در تحقیق حاضر نیز تفاوتی بین رشد تیمارهای مختلف تا ۲۰۸ روز پس از تفریخ مشاهده نشد و از این نظر نتایج به دست آمده با نتایج ارائه شده از Wagner و همکاران (۲۰۰۶) مشابه است. همچنین Meng و همکاران (۲۰۱۹) نیز تولید ماهیان تریپلوبید قزلآلای را راهکاری برای پرورش این ماهی تا سایزهای ۳-۵ کیلوگرمی بدون رشد گنادی بیان می‌کنند و تفاوت رشد را مربوط به دوران متأخر رشد

## بحث

هدف اصلی این مطالعه آزمون امکان القاء تریپلوبیدی در قزلآلای رنگین‌کمان نبوده است، زیرا گزارش‌های متعددی در این مورد به چاپ رسیده است. بدین ترتیب، تیمارهایی که برای این مطالعه در نظر گرفته شده از گزارش‌های معتبر و موفق القاء تریپلوبیدی در چند سال اخیر استخراج گردیده است. با این حال، نتیجه القاء تریپلوبیدی در تیمار C با درصد تریپلوبیدی، از بهترین نتیجه در مقایسه با سایر تیمارها و نیز تحقیق‌های مشابه داخلی برخوردار بود. گزارش‌های متعددی در مورد سه پارامتر لازم برای القاء تریپلوبیدی به‌وسیله شوک حرارتی (زمان شروع، درجه حرارت و مدت شوک‌دهی) در قزلآلای رنگین‌کمان وجود دارد (بابا حیدری و Chourrout *et al.*, 1984; Solar *et al.*; ۱۳۹۶; Thorgaard, 1984; Piferrer, 2001).

به دست آمده از Pandey و همکاران (۲۰۲۱) تفاوتی بین بازماندگی دو تیمار دیپلولئید و تریپلولئید نشان نمی‌دهد. به عنوان دلیل دیگر، برخی مطالعات نشان می‌دهد، زمان القاء شوک تریپلولئیدی نیز در تعیین نرخ بازماندگی موثر است. در خصوص بدشکلی در ماهیان تریپلولئید باید بیان نمود با توجه به تولید ماهیان تریپلولئید تجاری از دیدگاه بازارپسندی، وقوع بدشکلی یک موضوع مهم در تولید این نوع ماهیان می‌باشد. Zanuy و همکاران (۱۹۹۴) دریافتند که تعداد زیادی از لاروهای بدشکل پس از القاء تریپلولئیدی در باس اروپایی به وجود می‌آید که پس از تخم‌گشایی از بین می‌روند. برخی از دانشمندان نیز معتقدند، عارضه بدشکلی فک پایین در ماهی آزاد اطلس تریپلولئید پیش از آنکه مربوط به القاء شوک به تخم‌ها باشد، ناشی از شرایط تریپلولئیدی است. اسحقزاده و همکاران (۱۳۹۱) دستکاری‌های دوران لاروی را جزو دلایل ظاهر شدن بدشکلی دانسته‌اند. القاء تریپلولئیدی بر اسکلت‌بندی، تارها و سرپوش آبششی تأثیر می‌گذارد و سطح آبشش را در افراد تریپلولئید کاهش می‌دهد. اما یافتن دلیل هر کدام از وقوع این عارضه‌ها (و اینکه آیا این نقصان‌ها به شرایط تریپلولئیدی مربوط است یا در نتیجه عوامل شوک می‌باشد)، غیرممکن به نظر می‌رسد. بدشکلی ستون فقرات در تریپلولئیدهای جوان و بالغ کم دیده می‌شود و بیشتر در مراحل ابتدایی تکامل مشاهده است، زیرا بدشکلی در ستون فقرات باعث تأخیر در شروع شنای فعال و در حالات شدیدتر مانع از شنای لارو می‌شود و در نتیجه، باعث از بین رفتن در مراحل ابتدایی تکامل خواهد شد. به همین دلیل در مراحل بالاتر رشد Jagiello و همکاران (۲۰۲۱) حدود ۴٪ انواع بدشکلی اسکلتی را در ماهی قزل‌آلای تریپلولئید حدود ۳۹ گرمی گزارش کردند. بدشکلی‌های گزارش شده خفیف بود و مانع ادامه حیات نمی‌شد. در ماهی آزاد اطلس نیز مقدار قابل توجهی از بدشکلی مربوط به آب مروارید و تارهای آبششی است. بنا به نظر Cotter و همکاران (۲۰۰۲) وقوع آب مروارید بیش از شرایط پلوئیدی، به کیفیت شوکدهی مربوط است. بنابراین، به نظر می‌رسد میزان بدشکلی‌های ثبت

می‌دانند که با نتایج مطالعه حاضر مطابقت دارد. همچنین مطالعات Galbreath و همکاران (۱۹۹۴) و Cotter و همکاران (۲۰۰۲)، Taylor و همکاران (۲۰۰۷) بر گونه‌های مختلف نیز با نتایج به دست آمده در تحقیق حاضر مطابقت دارد. Pandey و همکاران (۲۰۲۱) گزارش کردند که تفاوت رشد از دوره پرواری قابل مشاهده است. در خصوص بازماندگی، نتایج مطالعه حاضر نشان می‌دهد بازماندگی ماهیان تریپلولئید در شرایط پرورشی تا وزن ۵۰۰ میلی‌گرم تحت تاثیر شوک حرارتی بود و بعد از ۵۰۰ میلی‌گرم تلفات در تیمارها تفاوت معنی‌داری نداشت. پس از شروع شنای فعال، لاروهای تریپلولئیدی که پس از شوک حرارتی زنده مانده بودند و توانایی دریافت غذا داشتند، از نظر بازماندگی با دیپلولئیدها تفاوت معنی‌داری نداشتند. در تایید این نتایج، مطالعات فراوان نشان داده است که بازماندگی اولیه گونه‌های تریپلولئید به دلیل پایین‌تر بودن زیست‌پذیری تخم‌ها، اختلال در تکامل جنینی و تخم‌گشایی لاروهای تریپلولئیدی که پس از دیپلولئیدها کمتر است. در پژوهش Cherfas و همکاران (۱۹۹۴) مقدار بازماندگی تریپلولئیدها در مقایسه با دیپلولئیدهای شوک‌دیده در مراحل اولیه رشد، برابر و در مقایسه با دیپلولئیدهای معمول، کمتر بود. این مشاهدات نشان می‌دهد، القاء شوک مهم‌ترین عامل مستقیم کاهش بازماندگی "در مراحل اولیه تکامل جنینی" بوده و ایجاد تریپلولئیدی به عنوان دلیل تلفات، در مرحله بعد قرار می‌گیرد. در مورد مراحل بالای رشد، بازماندگی تریپلولئیدها کمتر یا مشابه دیپلولئیدهای است. از سوی دیگر، هنگامی که ماهیان تریپلولئید، دیپلولئید شوک‌دیده و دیپلولئید شوک‌نديده با هم و در یک محیط معمول پرورش به منظور پرواربندی نگهداری می‌شوند، کاهش بازماندگی تریپلولئیدها در مقایسه با افراد دیپلولئید دیده می‌شود (McGeachy, Utter *et al.*, 1983) (Utter *et al.*, 1983) و همکاران (۱۹۹۵) و Flajshans و همکاران (۲۰۰۷) نشان داد که سطوح پلوئیدی در مقدار بازماندگی تفاوت ایجاد نمی‌کند. بیشتر مطالعات بر این نکته دلالت دارد که پرورش توأم ماهیان دیپلولئید و تریپلولئید باعث ایجاد اختلاف در بازماندگی آنها خواهد شد. با این حال، در نتایج

- on erythrocytes dimensions. *Animal Science and Biotechnologies*, 46: 113-117.
- Benfey, T.J., 1999.** The physiology and behavior of triploid fishes. *Reviews in Fisheries Science*, 7: 39-67. DOI:10.1080/10641269991319162
- Cherfas, N.B., Gomelsky, B., Ben-Dom, N., Peretz, Y. and Hulata, G., 1994.** Assessment of triploid common carp (*Cyprinus carpio*) for culture. *Aquaculture*, 127: 11-18. DOI:10.1016/0044-8486(94)90187-2
- Chourrout, D., 1984.** Pressure-induced retention of second polar body and suppression of first cleavage in rainbow trout: production of all-triploids, all-tetraploids and heterozygous and homozygous diploid gynogenetics. *Aquaculture*, 36: 111-126. DOI:10.1016/0044-8486(84)90058-9
- Cotter, D., O'Donovan, V., Drumm, A. and Wilkins, N.P., 2002.** Comparison of fresh water and marine performances of all-female diploids and triploid Atlantic salmon. *Aquaculture Research*, 33: 43-53. DOI:10.1046/j.1355-557X.2001.00643.x
- Flajšhans, M., Kohlmann, K. and Ráb, P., 2007.** Autotriploid tench *Tinca tinca* (L.) larvae obtained by fertilization of eggs previously subjected to post-ovulatory ageing in vitro and in vivo. *Journal of Fish Biology*, 71: 868-876. DOI:10.1111/j.1095-8649.2007.01557.x
- شده در جمعیت‌های تریپلوبیوتید به روش القاء تریپلوبیوتیدی نیز بستگی دارد.
- ### منابع
- اسحق زاده، ح.، ایگدری، س.، هادی‌پور، ب. و کاظمی، ر.، ۱۳۹۱. مقایسه شکل در پیش لاروهای سالم و تلف شده فیل ماهی (*Huso huso*) و الگوهای بد شکلی با استفاده از روش ریخت سننجی هندسی، مجله علمی شیلات ایران، ۲۱ (۲): ۱۰-۱.
- ایگدری، س.، بهرامی، م.، هادی پور، ب.، فرهمند، ح. و اسحق زاده، ح.، ۱۳۹۶. بررسی الگوهای رشد آلومتریک در ماهی هیبرید تریپلوبیوتید فیل ماهی (*Acipenser*) و تسامه‌ای سبیری (*Huso huso*) در مراحل اولیه تکوین، مجله علمی شیلات ایران، ۲۶ (۱): ۵۵-۴۳.
- بابا‌حیدری، ص.، کیوان شکوه، س.، درافشان، س. و جوهری، ع.، ۱۳۹۶. مقایسه میزان بازنگشتن، رشد و پاسخ به تنفس حمل و نقل در ماهیان دیپلوبیوتید قزل‌آلای رنگین‌کمان. پژوهش‌های ماهی شناسی، ۵ (۲): ۹۷-۱۱۶.
- زارعی، ث.، درافشان، س. و پیکان حیرتی، ف.، ۱۳۹۶. مورفولوژی گلبولهای قرمز بچه ماهیان آمیخته تریپلوبیوتید، قزل‌آلای رنگین‌کمان و ماهی آزاد دریای خزر، فصلنامه علوم جانوری پیشرفت، ۱: ۴۳-۳۱.
- کلباشی، م. و جوهری، ع.، ۱۳۷۲. بررسی امکان تولید جمعیت تمام ماده تریپلوبیوتید قزل‌آلای رنگین‌کمان (*Oncorhynchus mykiss*). فصلنامه علوم آب و خاک، ۱۲ (۱): ۲۶۹-۲۷۴.
- Behnke, R.J., 1992.** Native trout of western North America. American Fisheries Society Press, Bethesda, MD.
- Bencsik, I., Pacala, N., Dumitrescu, G., Dronca, D., Stanculet, J. and Petculescu, C., 2013.** Triploidy determination in rainbow trout (*Oncorhynchus mykiss*) based

- Galbreath, P.F., Jean, W.S., Anderson, V. and Thorgaard, G.H., 1994.** Freshwater performance of all-female diploid and triploid Atlantic salmon. *Aquaculture*, 128(1-2), 41-49. DOI:10.1016/0044-8486(94)90100-7
- Hardey, R.W., Fornshell, T. B. and Brannon, E.L., 2000.** Rainbow trout culture. In R. R. Stickney, editor. Encyclopedia of Aquaculture. John & Sons, New York. pp. 716-722.
- Jagiello, k., Polonis, M. and Okalewiks, K., 2021.** Incidence of skeletal deformities in induced triploid rainbow trout *Oncorhynchus mykiss*. *Oceanological and Hydrobiological Studies*, 50(2): 150-159. DOI: 10.2478/oandhs-2021-0014
- McGeachy, S., Benfey, T.J. and Friars, G.W., 1995.** Freshwater performance of triploid Atlantic salmon (*Salmo salar*) in New Brunswick aquaculture. *Aquaculture*, 137: 333–341. DOI:10.1016/0044-8486(95)01100-5.
- Meng, Y., Han, B., Li, C., Qian, K., Liu, X., Hu, X. and Ma, R., 2019.** Digestive characteristics and blood chemistry profile of triploid rainbow trout *Oncorhynchus mykiss*: influence of body size and seasonal variation. *Fisheries Science*, 85:1001-1010, DOI:10.1007/s12562-019-01348-6
- Oliver, L.P., Ma, J., Bruce, T.J., Evavold, J.T., Korbel, D.B. and Cain, K.D., 2020.** Triploid induction in cultured burbot (*Lota lota*) using thermal and hydrostatic shock. *Aquaculture*, 515, 734582.
- Nascimento, N.F., Pereira-Santos, M., Piva, L.H.; Manzini, B.; Fujimoto, T., Senhorini, J.A., Yasui, G.S. and Nakaghi, L.S.O., 2017.** Growth, fatty acid composition, and reproductive parameters of diploid and triploid yellowtail tetra *Astyanax altiparanae*. *Aquaculture*, 471:163-171. DOI:10.1016/j.aquaculture.2017.01.007.
- Nell, J.A., 2002.** Farming triploid oysters. *Aquaculture*, 210: 69–88. DOI:10.1016/S0044-8486(01)00861-4
- Pandey, N., Vishvakarma, B.K., and Sharma, S., 2021.** Comparative growth performance of diploids and triploids rainbow trout (*Oncorhynchus mykiss*). *Journal of Entomology and Zoology Studies*, 9(2): 1120-1123.
- Piferrer, F., 2001.** Endocrine sex control strategies for the feminization of teleost fish. *Aquaculture*, 197(1-4), 229-281.
- Piferrer, F., Benfey, T.J. and Donaldson, E.M., 1994.** Gonadal morphology of normal and sex-reversed triploid and gynogenetic diploid coho salmon (*Oncorhynchus kisutch*). *Journal of Fish Biology*, 45, 541–553. DOI:10.1111/j.1095-8649.1994.tb00923.
- Solar, I.I., Donaldson, E.M. and Hunter, G.A., 1984.** Induction of triploidy in rainbow trout (*Salmo gairdneri Richardson*) by heat shock, and investigation of early growth. *Aquaculture*, 42(1), 57-67. DOI:10.1016/0044-8486(84)90313-2.

- Taylor, J.F., Needham, M.P., North, B.P., Morgan, A. and Migaud, H., 2007.** The influence of ploidy on saltwater adaptation, acute stress response and immune function following seawater transfer in non-smolting rainbow trout. *General and Comparative Endocrinology*, 152: 314–325. DOI:10.1016/j.ygcen.2007.02.029
- Thorgaard, G.H., 1986.** Ploidy manipulation and performance. *Aquaculture*, 57: 57–64.
- Utter, F.M., Johnson, O.W., Thorgaard, G.H. and Rabinovitch, P.S., 1983.** Measurement and potential applications of induced triploidy in Pacific salmon. *Aquaculture*, 35: 125–135. DOI:10.1016/0044-8486(83)90080-7.
- Wagner, E.J., Arndt, R.E., Routledge, M.D., Latremouille, D. and Mellenthin, R.F., 2006.** Comparison of hatchery performance, agonistic behavior, and poststocking survival between diploid and triploid rainbow trout of three different Utah strains. *North American Journal of Aquaculture*, 68(1), pp.63-73.
- Zanuy, S., Carrillo, M., Blázquez, M., Ramos, J., Piferrer, F. and Donaldson, E.M., 1994.** Production of monosex and sterile sea bass by hormonal and genetic approaches. *Publications and Associated Developing Aquaculture*, 119: 409–423.

## Evaluation of growth rate, survival and deformity due to triploid induction in Rainbow trout by heat shock

Zargham D.<sup>1\*</sup>; Razmi K.<sup>2</sup>; Bashti T.<sup>1</sup>

\*davoodzargham61@gmail.com

1-Iranian Fisheries Science Research Institute, Agricultural Research, Education and Extension Organization, Tehran, Iran.

2-Institute of Marine and Antarctic Studies, University of Tasmania, Australia.

### Abstract

The occurrence of puberty usually slows down the body's growth rate because the energy from the food is diverted to gonadal development instead of muscle production. By producing sterile fish, these problems can be solved. One method of sterilization is through ploidy induction (especially triploid). Given that these triploid fish are stressed in the early stages of life, it is important to be aware of their ability to withstand the rearing environment's stressful conditions and assess the rate of growth, survival and deformity caused by shock. 3 treatments were considered for the triploidy inducing in this study. In treatment A, the eggs were placed in water at 27° C for 15 minutes after fertilization for 30 minutes. In treatment B, shock was performed 20 minutes after fertilization for 20 minutes at 26° C and in treatment C, shock 40 minutes after fertilization was performed for 10 minutes at 28° C. A treatment with 13,200 eggs was considered as Control Group (D). The efficiency of triploid induction was 84% in treatment A, 76% in treatment B and 98% in treatment C. The results of 10 stages of juvenile growth study did not show a significant difference until 208 days after hatching ( $p \geq 0.05$ ). The fish survival of the treatments was examined in 7 separate stages. In total, the survival of treatment A was 66%, the survival of treatment B was 81%, the survival of treatment C was 72% and the survival of Control group was 86%. Also, the number of larvae with deformity and appearance defects from the hatching stage to the beginning of active swimming and reaching a weight of 200 mg were examined quantitatively and qualitatively. In total, the malformation rate in treatment A was equal to 6.51%, in treatment B was equal to 7.65%, in treatment C was 10.75% and in Control group was 0.6% ( $p < 0.05$ ).

**Keywords:** Triploid, Rainbow trout, Deformity, Survival, Growth, *Oncorhynchus mykiss*

---

\*Corresponding author